

V-5 鉄筋付着強度試験における付着応力の分布に関する理論的研究

室蘭工業大学 正員 能町純雄
同 同 ○ 松岡健一

1. まえがき

鉄筋とコンクリートの付着強度試験方法としては、ASTM規格による引抜法、梁の曲げによる方法、両引試験法等があり、これらにもとづいた付着強度の実験研究に関する論文は数多く発表されてい。しかしこれらの試験法における鉄筋とコンクリートとの付着面の付着応力の分布を理論的に解析した研究としては、わずかに K.R. Peartree 等の研究⁽¹⁾、S.T.A. Ödman の研究⁽²⁾があるにすぎない。

本研究は、この問題の理論解釈の基礎的なものとして、コンクリート円柱内部に同心円状に鉄筋を埋め込んだ場合の、鉄筋とコンクリートとの付着応力の分布を三次元弾性問題として解析を試みたものである。最後に数値解析例として、両引法について、コンクリート円柱径と鉄筋径の比、鉄筋径と埋め込み長さの比を変えたときの付着応力分布を計算した。

2. 軸対称応力問題の基本解

三次元軸対称応力問題については、Fourier-Hankel変換による基本解が、著者一人（能町）によりすでに発表されている⁽³⁾ので、ここではその概要を述べ結果を記す。三次元軸対称応力問題のカクツリ合式は

$$\frac{\partial \sigma_r}{\partial r} + \frac{\sigma_r - \sigma_z}{r} + \frac{\partial \sigma_{rz}}{\partial z} = 0 \quad (1)$$

$$\frac{\partial \sigma_z}{\partial r} + \frac{\sigma_z}{r} + \frac{\partial \sigma_{rz}}{\partial z} = 0 \quad (2)$$

また、 U, W を r, z 方向の変位とすると。

$$(\sigma_r, \sigma_\theta, \sigma_z) = 2\mu \left(\frac{\partial U}{\partial r}, \frac{U}{r}, \frac{\partial W}{\partial z} \right) + \lambda(e, e, e) \quad (3)$$

$$\sigma_{rz} = \mu \left(\frac{\partial U}{\partial z} + \frac{\partial W}{\partial r} \right) \quad (4)$$

$$e = \frac{\partial U}{\partial r} + \frac{U}{r} + \frac{\partial W}{\partial z}$$

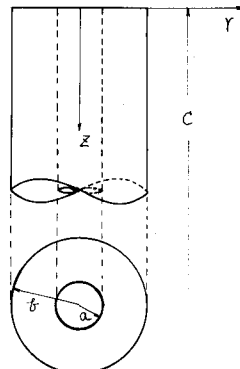


図-1

(1), (2) 式は、 $\xi = r/\lambda$, $M_1(\xi)$ および $M_0(\xi)$ による Fourier-Hankel 変換式、(3)

(4) 式の関係も用いて行はれ、得られた 2つ式から、変位 U, W の Fourier-Hankel 変換された値を求め、これで逆変換することにより、最終的に次の結果がえられ。

$$U_i = \frac{ab}{\mu^2 - \alpha^2} \left\{ \left(\frac{r}{\alpha} - \frac{a}{r} \right) A_0 - \left(\frac{r}{\alpha} - \frac{b}{r} \right) A_0' \right\} \\ + \sum_{n=1}^{\infty} \cos n\pi z \left[\left\{ G^{(n)}(nr) + \frac{\mu+\lambda}{2\mu+\lambda} F^{(n)}(nr) \right\} A_n + \left\{ G^{(n)}(nr) + \frac{\mu+\lambda}{2\mu+\lambda} F^{(n)}(nr) \right\} A_n' + \frac{\mu+\lambda}{2\mu(2\mu+\lambda)} [F^{(n)}(nr)B_n + F^{(n)}(nr)B_n'] \right] \\ + \sum_{i=1}^{\infty} \frac{H_i(\xi r)}{\xi^2} \left[\left\{ \frac{\lambda}{2\mu+\lambda} \phi^{(i)}(\xi z) - \frac{\mu+\lambda}{2\mu+\lambda} (\phi^{(i)}(\xi z) - \psi^{(i)}(\xi z)) \right\} D_{ii} + \left\{ \frac{\lambda}{2\mu+\lambda} \phi^{(i)}(\xi z) - \frac{\mu+\lambda}{2\mu+\lambda} (\phi^{(i)}(\xi z) - \psi^{(i)}(\xi z)) \right\} D_{ii}' - \left\{ \frac{1}{2\mu+\lambda} \phi^{(i)}(\xi z) + \frac{\mu+\lambda}{2\mu(2\mu+\lambda)} (\phi^{(i)}(\xi z) - \psi^{(i)}(\xi z)) \right\} E_{ii} \right]$$

$$-\left\{ \frac{1}{2\mu+\lambda} \phi_{(\xi, z)}^{\alpha} + \frac{\mu+\lambda}{2\mu(2\mu+\lambda)} (\phi_{(\xi, z)}^{\alpha} - \psi_{(\xi, z)}) \right\} E_{\alpha}' \quad (5)$$

$$\begin{aligned} W_1 &= \frac{1}{2} D_{01} + \frac{1}{2} \left(1 - \frac{\varphi z}{c} \right) D_{01}' \\ &+ \sum_{n=1}^{\infty} \sin N z \left[\left\{ \frac{\mu+\lambda}{2\mu+\lambda} (X_{wR}) - \omega_{wR}^n \right\} A_n + \left\{ \frac{\mu+\lambda}{2\mu+\lambda} (X_{wR}) - \omega_{wR}^n \right\} A_n' \right. \\ &\quad \left. + \left\{ \frac{1}{2\mu+\lambda} X_{wR}^n + \frac{\mu+\lambda}{2\mu(2\mu+\lambda)} (X_{wR}^n - \omega_{wR}^n) \right\} B_n + \left\{ \frac{1}{2\mu+\lambda} X_{wR}^n + \frac{\mu+\lambda}{2\mu(2\mu+\lambda)} (X_{wR}^n - \omega_{wR}^n) \right\} B_n' \right] \\ &+ \sum_{i=1}^{\infty} \frac{H_i(\xi, t)}{\Theta_i^2} \left[\left\{ Q_{(\xi, z)}^{\alpha} + \frac{\mu+\lambda}{2\mu+\lambda} P_{(\xi, z)}^{\alpha} \right\} D_{i1}' + \left\{ Q_{(\xi, z)}^{\alpha} + \frac{\mu+\lambda}{2\mu+\lambda} P_{(\xi, z)}^{\alpha} \right\} D_{i1} \right. \\ &\quad \left. + \frac{\mu+\lambda}{2\mu(2\mu+\lambda)} \left\{ P_{(\xi, z)}^{\alpha} E_{i1} + P_{(\xi, z)}^{\alpha} E_{i1}' \right\} \right] \end{aligned} \quad (6)$$

∴ で $H_1(\xi, t) = J_1(\xi, t) Y_1(\xi, t) - J_1(\xi, t) Y_1(\xi, t)$, $H_0(\xi, t) = J_0(\xi, t) Y_1(\xi, t) - J_1(\xi, t) Y_0(\xi, t)$,
 $\Theta_i^2 = H_0^2(\xi, t) - \frac{\alpha^2}{t^2} H_0^2(\xi, t)$, ξ, t は $H_i(\xi, t) = 0 \Rightarrow \exists \theta$, $N = n\pi/c$ である。

また、
 $G_{(NR)}^{\alpha} = -\frac{2}{\beta^2} \sum_{i=1}^{\infty} \frac{\xi, t}{N^2 + \xi^2} H_0(\xi, t) \frac{H_i(\xi, t)}{\Theta_i^2} = \frac{R_{ii}^{(0)}(NR)}{R_{ii}^{(0)}(NA)}$, $G_{(NR)}^{\alpha} = \frac{2}{\beta^2} \sum_{i=1}^{\infty} \frac{\xi, t}{N^2 + \xi^2} H_0(\xi, t) \frac{H_i(\xi, t)}{\Theta_i^2} = \frac{R_{ii}^{(0)}(NR)}{R_{ii}^{(0)}(NA)}$
 $X_{(NR)}^{\alpha} = \frac{2}{(\beta^2 - \alpha^2)} N + \sum_{i=1}^{\infty} \frac{2}{\beta^2 - N^2 + \xi^2} H_0(\xi, t) \frac{H_i(\xi, t)}{\Theta_i^2} = \frac{R_{ii}^{(0)}(NR)}{R_{ii}^{(0)}(NR)}, X_{(NR)}^{\alpha} = \frac{-2\alpha}{(\alpha^2 - \beta^2)N} - \sum_{i=1}^{\infty} \frac{2\alpha}{\beta^2 - N^2 + \xi^2} H_0(\xi, t) \frac{H_i(\xi, t)}{\Theta_i^2} = \frac{R_{ii}^{(0)}(NR)}{R_{ii}^{(0)}(NA)}$
 $F_{(NR)}^{\alpha} = -\sum_{i=1}^{\infty} \frac{4}{\beta^2 (N^2 + \xi^2)} H_0(\xi, t) \frac{H_i(\xi, t)}{\Theta_i^2} = \frac{1}{\{R_{ii}^{(0)}(NR)\}^2} \left[R_{ii}^{(0)}(NR) \{N R_{ii}^{(0)}(NR) - N R_{ii}^{(0)}(NR)\} - R_{ii}^{(0)}(NR) \{N R_{ii}^{(0)}(NR) - N R_{ii}^{(0)}(NR)\} \right]$
 $F_{(NR)}^{\alpha} = \sum_{i=1}^{\infty} \frac{4\alpha}{\beta^2 (N^2 + \xi^2)} H_0(\xi, t) \frac{H_i(\xi, t)}{\Theta_i^2} = -\frac{1}{\{R_{ii}^{(0)}(NA)\}^2} \left[R_{ii}^{(0)}(NA) \{N R_{ii}^{(0)}(NR) - N R_{ii}^{(0)}(NR)\} - R_{ii}^{(0)}(NA) \{N R_{ii}^{(0)}(NA) - N R_{ii}^{(0)}(NA)\} \right]$
 $X_{(NR)}^{\alpha} - \omega_{(NR)}^{\alpha} = \sum_{i=1}^{\infty} \frac{4}{\beta^2 (N^2 + \xi^2)} H_0(\xi, t) \frac{H_i(\xi, t)}{\Theta_i^2} = 2X_{(NR)}^{\alpha} = \frac{1}{\{R_{ii}^{(0)}(NR)\}^2} \left[R_{ii}^{(0)}(NR) \{N R_{ii}^{(0)}(NR) - N R_{ii}^{(0)}(NR)\} - R_{ii}^{(0)}(NR) \{N R_{ii}^{(0)}(NR) - N R_{ii}^{(0)}(NR)\} \right]$
 $X_{(NR)}^{\alpha} - \omega_{(NR)}^{\alpha} = -\sum_{i=1}^{\infty} \frac{4\alpha}{\beta^2 (N^2 + \xi^2)} H_0(\xi, t) \frac{H_i(\xi, t)}{\Theta_i^2} = 2X_{(NR)}^{\alpha} - \frac{1}{\{R_{ii}^{(0)}(NA)\}^2} \left[R_{ii}^{(0)}(NR) \{N R_{ii}^{(0)}(NA) - N R_{ii}^{(0)}(NA)\} - R_{ii}^{(0)}(NA) \{N R_{ii}^{(0)}(NR) - N R_{ii}^{(0)}(NR)\} \right]$
 $\phi_{(\xi, z)}^{\alpha} = \frac{2}{C} \sum_{i=1}^{\infty} \frac{1 - (-1)^i}{(i+1)^2} \frac{\xi, t}{N^2 + \xi^2} (i=1, 2, \dots, N) = \frac{\sin \xi, t}{C} \frac{\sin \xi, t}{N^2 + \xi^2} + \frac{\cos \xi, t}{C} \frac{\cos \xi, t}{N^2 + \xi^2}$
 $\phi_{(\xi, z)}^{\alpha} - \frac{\varphi z}{c} = \frac{\sin \xi, t}{C} \frac{\sin \xi, t}{N^2 + \xi^2} + \frac{\cos \xi, t}{C} \frac{\cos \xi, t}{N^2 + \xi^2}$
 $\phi_{(\xi, z)}^{\alpha} - \psi_{(\xi, z)}^{\alpha} = \frac{4}{C} \sum_{i=1}^{\infty} \frac{1 - (-1)^i}{(i+1)^2} \frac{N^2 \xi, t \sin \xi, t}{N^2 + \xi^2} = \frac{\phi_{(\xi, z)}^{\alpha}}{C} - \frac{4}{C} \sum_{i=1}^{\infty} \frac{1 - (-1)^i}{(i+1)^2} \frac{N^2 \xi, t \sin \xi, t}{N^2 + \xi^2} = \frac{\phi_{(\xi, z)}^{\alpha}}{C} - \frac{4}{C} \sum_{i=1}^{\infty} \frac{1 - (-1)^i}{(i+1)^2} \frac{N^2 \xi, t \sin \xi, t}{N^2 + \xi^2}$
 $R_{i1}^{(0)}(NR) = I_i(NR) K_i(NA) - (-1)^{i+1} I_i(NA) K_i(NR)$, $R_{i1}^{(0)}(NR) = I_i(NR) K_i(NA) - (-1)^{i+1} I_i(NA) K_i(NR)$, $i = 0, 1; \lambda = 0, 1$

(5), (6) 式 1 は $a \leq r \leq b$ に対する解であるが, $r \leq a$ に付けては $a=0$, $t=a$, $H_1(\xi, t) = J_1(\xi, t)$, $H_0(\xi, t) = J_0(\xi, t)$, とおり導き出る。ただし ξ, t は $J_i(\xi, t) = 0 \Rightarrow \exists \theta$ である。従って.

$$\begin{aligned} U_2 &= \frac{r}{a} A'_0 + \sum_{n=1}^{\infty} \sin N z \left[\left\{ G_{(NR)}^{\alpha} + \frac{\mu+\lambda}{2\mu(2\mu+\lambda)} F_{(NR)}^{\alpha} \right\} A_n' + \frac{\mu+\lambda'}{2\mu(2\mu+\lambda)} F_{(NR)}^{\alpha} B_n' \right] \\ &+ \sum_{i=1}^{\infty} \frac{J_i(\xi, t)}{\{J_0(\xi, t)\}^2} \left[\left\{ \frac{\lambda'}{2\mu+\lambda} \phi_{(\xi, z)}^{\alpha} - \frac{\mu+\lambda'}{2\mu(2\mu+\lambda)} (\phi_{(\xi, z)}^{\alpha} - \psi_{(\xi, z)}^{\alpha}) \right\} D_{i2}' + \left\{ \frac{\lambda'}{2\mu+\lambda} \phi_{(\xi, z)}^{\alpha} - \frac{\mu+\lambda'}{2\mu(2\mu+\lambda)} (\phi_{(\xi, z)}^{\alpha} - \psi_{(\xi, z)}^{\alpha}) \right\} D_{i2} \right. \\ &\quad \left. - \left\{ \frac{1}{2\mu+\lambda} \phi_{(\xi, z)}^{\alpha} + \frac{\mu+\lambda'}{2\mu(2\mu+\lambda)} (\phi_{(\xi, z)}^{\alpha} - \psi_{(\xi, z)}^{\alpha}) \right\} E_{i2}' + \left\{ \frac{1}{2\mu+\lambda} \phi_{(\xi, z)}^{\alpha} + \frac{\mu+\lambda'}{2\mu(2\mu+\lambda)} (\phi_{(\xi, z)}^{\alpha} - \psi_{(\xi, z)}^{\alpha}) \right\} E_{i2} \right] \\ W_2 &= \sum_{n=1}^{\infty} \sin N z \left[\left\{ \frac{\mu+\lambda}{2\mu+\lambda} (X_{wR}) - \frac{\lambda'}{2\mu+\lambda} X_{wR} \right\} A_n' + \left\{ \frac{\mu+\lambda'}{2\mu(2\mu+\lambda)} (X_{wR}) + \frac{\mu+\lambda'}{2\mu(2\mu+\lambda)} (X_{wR}) - \omega_{wR}^n \right\} B_n' \right] \\ &+ \frac{1}{2} D_{02} + \frac{1}{2} \left(1 - \frac{\varphi z}{c} \right) D_{02}' + \sum_{i=1}^{\infty} \frac{J_i(\xi, t)}{\{J_0(\xi, t)\}^2} \left[\left\{ Q_{(\xi, z)}^{\alpha} + \frac{\mu+\lambda'}{2\mu+\lambda} P_{(\xi, z)}^{\alpha} \right\} D_{i2}' + \left\{ Q_{(\xi, z)}^{\alpha} \right. \right. \\ &\quad \left. \left. + \frac{\mu+\lambda'}{2\mu+\lambda} P_{(\xi, z)}^{\alpha} \right\} D_{i2} + \frac{\mu+\lambda'}{2\mu(2\mu+\lambda)} \left\{ P_{(\xi, z)}^{\alpha} E_{i2} + P_{(\xi, z)}^{\alpha} E_{i2}' \right\} \right] \end{aligned} \quad (7)$$

$$\text{上式中 } G(NP) = -\frac{2}{\alpha} \sum_{i=1}^{\infty} \frac{\xi_i}{(\alpha^2 + \xi_i^2)} \frac{J_1(\xi_i r)}{J_0(\xi_i a)} = \frac{I_1(NP)}{I_0(NA)}, F(NP) = -\frac{4}{\alpha} \sum_{i=1}^{\infty} \frac{N^2 \xi_i}{(\alpha^2 + \xi_i^2)^2} \frac{J_0(\xi_i r)}{J_0(\xi_i a)} = \frac{NA I_0(NP) I_0(NA)}{[I_1(NA)]^2},$$

$$\chi(NP) = \frac{2}{\alpha} \left[\frac{1}{N} + \sum_{i=1}^{\infty} \frac{N}{(\alpha^2 + \xi_i^2)} \frac{J_0(\xi_i r)}{J_0(\xi_i a)} \right] = \frac{I_0(NP)}{I_0(NA)}, \chi(NP) - w(NP) = \frac{4}{\alpha} \sum_{i=1}^{\infty} \frac{N \xi_i^2}{(\alpha^2 + \xi_i^2)^2} \frac{J_0(\xi_i r)}{J_0(\xi_i a)} = 2\chi(NP) - \frac{NA I_0 w I_0(NP)}{[I_1(NA)]^2} + \frac{NI I_0(NP)}{I_1(NA)}$$

(5)～(8)式に含まぬ A_n, A_n', \dots 等は定数で境界条件を満足するよろいをもつ。これら式を(3), (4)式に代入することにより、各応力成分を求める。

3. 付着応力の解析

今、図-1の同心円柱を考慮、外力は $Z=0$ または $Z=C$ の面に直応力のみが作用するものとすと、この場合の境界条件は、

$$\begin{aligned} r=a \quad & \bar{\sigma}_{r1}(r=a) = \bar{\sigma}_{r2}(r=a), \quad \bar{w}_1(r=a) = \bar{w}_2(r=a); \quad r=\infty \quad \bar{\sigma}_{r1}(r=\infty) = 0, \quad \bar{\sigma}_{r2}(r=\infty) = 0 \rightarrow B_n = 0 \\ Z=0 \quad & \bar{\sigma}_{z1}(Z=0) = P_{10}(r), \quad \bar{\sigma}_{z2}(Z=0) = P_{20}(r), \quad \bar{\tau}_{rz1}(Z=0) = 0, \quad \bar{\tau}_{rz2}(Z=0) = 0 \quad \} \rightarrow E_c = E'_c = 0 \\ Z=C \quad & \bar{\sigma}_{z1}(Z=C) = P_{1C}(r), \quad \bar{\sigma}_{z2}(Z=C) = P_{2C}(r), \quad \bar{\tau}_{rz1}(Z=C) = 0, \quad \bar{\tau}_{rz2}(Z=C) = 0 \end{aligned}$$

また、 $P_{10}(r) = P_{1C}(r), P_{20}(r) = P_{2C}(r)$ のときは $D_{i1}' = 0$ 、逆のときは $D_{i2}' = 0$ である。 $(P(r): \text{外力})$
従って、境界条件式は、外力が対称の場合。

$$\begin{aligned} \bar{\sigma}_{r1}(r=\infty) &= 2\mu_1 \frac{\alpha t}{\beta^2 - \alpha^2} \left\{ \left(\frac{1}{\alpha} + \frac{\beta}{\beta^2 - \alpha^2} \right) A_0 - \frac{2}{\beta} A_{0'} \right\} + \lambda_1 \frac{2\alpha t}{\beta^2 - \alpha^2} \left(\frac{1}{\alpha} A_0 - \frac{1}{\beta} A_{0'} \right) - \frac{\lambda_1}{C} D_{01}' \\ &+ \sum_{n=1}^{\infty} N \alpha \rho N Z \left[\frac{2\mu_1 (\mu_1 + \lambda_1)}{2\mu_1 + \lambda_1} \left\{ \chi_{(NP)}^{(n)} + w_{(NP)}^{(n)} \right\} - \frac{2\mu_1 + \lambda_1}{\mu_1 + \lambda_1} \frac{1}{Nt} \right] A_n + \frac{2\mu_1 (\mu_1 + \lambda_1)}{2\mu_1 + \lambda_1} \left\{ \chi_{(NP)}^{(n)} + w_{(NP)}^{(n)} \right\} - \frac{2\mu_1 + \lambda_1}{\mu_1 + \lambda_1} \frac{1}{Nt} \chi_{(NP)}^{(n)} / A_n' \\ &+ \frac{\mu_1 + \lambda_1}{2\mu_1 + \lambda_1} \left\{ \chi_{(NP)}^{(n)} + w_{(NP)}^{(n)} \right\} - \frac{2\mu_1 + \lambda_1}{\mu_1 + \lambda_1} \chi_{(NP)}^{(n)} \} B_n' \left] - \sum_{i=1}^{\infty} \frac{\xi_i H_0(\xi_i r)}{\Theta_i^2} \frac{2\mu_1 (\mu_1 + \lambda_1)}{2\mu_1 + \lambda_1} \left\{ \phi_{(\xi_i z)}^{(i)} - \psi_{(\xi_i z)}^{(i)} \right\} / D_{i1}' = 0 \quad (9) \end{aligned}$$

$$\begin{aligned} \bar{\sigma}_{r1}(r=a) - \bar{\sigma}_{r2}(r=a) &= 2\mu_1 \frac{\alpha t}{\beta^2 - \alpha^2} \left\{ \frac{2}{\alpha} A_0 - \left(\frac{1}{\alpha} + \frac{\beta}{\beta^2 - \alpha^2} \right) A_{0'} \right\} + \lambda_1 \frac{2\alpha t}{\beta^2 - \alpha^2} \left(\frac{1}{\alpha} A_0 - \frac{1}{\beta} A_{0'} \right) - \frac{\lambda_1}{C} D_{01}' - \frac{2(\mu_2 + \lambda_2)}{\alpha} A_0' + \frac{\lambda_2}{C} D_{02}' \\ &+ \sum_{n=1}^{\infty} N \alpha \rho N Z \left[\frac{2\mu_1 (\mu_1 + \lambda_1)}{2\mu_1 + \lambda_1} \left\{ \chi_{(NA)}^{(n)} + w_{(NA)}^{(n)} \right\} A_n + \frac{2\mu_1 (\mu_1 + \lambda_1)}{2\mu_1 + \lambda_1} \left\{ \chi_{(NA)}^{(n)} + w_{(NA)}^{(n)} \right\} - \frac{\mu_1 + \lambda_1}{\mu_1 + \lambda_1} \frac{1}{Na} \right] A_n' + \frac{\mu_1 + \lambda_1}{2\mu_1 + \lambda_1} \left\{ \chi_{(NA)}^{(n)} + w_{(NA)}^{(n)} \right\} A_n' \\ &- \frac{\mu_1 + \lambda_1}{\mu_1 + \lambda_1} \chi_{(NA)}^{(n)} \} B_n' - \frac{2\mu_1 (\mu_1 + \lambda_1)}{2\mu_1 + \lambda_1} \left\{ \chi_{(NA)}^{(n)} + w_{(NA)}^{(n)} \right\} - \frac{2\mu_1 + \lambda_1}{\mu_1 + \lambda_1} \frac{1}{Na} \} A_n' - \frac{\mu_2 + \lambda_2}{2\mu_2 + \lambda_2} \left\{ \chi_{(NA)}^{(n)} + w_{(NA)}^{(n)} \right\} - \frac{\mu_2 + \lambda_2}{2\mu_2 + \lambda_2} \chi_{(NA)}^{(n)} \} B_n' \left] \\ &- \sum_{i=1}^{\infty} \frac{\xi_i H_0(\xi_i a)}{\Theta_i^2} \frac{2\mu_1 (\mu_1 + \lambda_1)}{2\mu_1 + \lambda_1} \left\{ \phi_{(\xi_i z)}^{(i)} - \psi_{(\xi_i z)}^{(i)} \right\} / D_{i1}' + \sum_{i=1}^{\infty} \frac{\xi_i}{J_0(\xi_i a)} \frac{2\mu_1 (\mu_1 + \lambda_1)}{2\mu_1 + \lambda_1} \left\{ \phi_{(\xi_i z)}^{(i)} - \psi_{(\xi_i z)}^{(i)} \right\} / D_{i2}' = 0 \quad (10) \end{aligned}$$

$$\begin{aligned} w_1(r=a) - w_2(r=a) &= \frac{1}{2} (1 - \frac{2Z}{C}) D_{01}' - \frac{1}{2} (1 - \frac{2Z}{C}) D_{02}' + \sum_{n=1}^{\infty} N \alpha \rho N B \left[\frac{\mu_1 + \lambda_1}{2\mu_1 + \lambda_1} \left\{ \chi_{(NA)}^{(n)} - w_{(NA)}^{(n)} \right\} - \frac{\lambda_1}{\mu_1 + \lambda_1} \chi_{(NA)}^{(n)} \right] A_n \\ &+ \frac{\mu_1 + \lambda_1}{2\mu_1 + \lambda_1} \left\{ \chi_{(NA)}^{(n)} - w_{(NA)}^{(n)} \right\} + \frac{2\mu_1}{\mu_1 + \lambda_1} \chi_{(NA)}^{(n)} \} B_n' + \frac{\mu_1 + \lambda_1}{2\mu_1 + \lambda_1} \left\{ \chi_{(NA)}^{(n)} - w_{(NA)}^{(n)} \right\} - \frac{\lambda_1}{\mu_1 + \lambda_1} \chi_{(NA)}^{(n)} \} A_n' \\ &- \frac{\mu_2 + \lambda_2}{2\mu_2 + \lambda_2} \left\{ \chi_{(NA)}^{(n)} - w_{(NA)}^{(n)} \right\} - \frac{\lambda_2}{\mu_2 + \lambda_2} \chi_{(NA)}^{(n)} \} A_n' - \frac{\mu_1 + \lambda_1}{2\mu_2 + \lambda_2} \left\{ \chi_{(NA)}^{(n)} - w_{(NA)}^{(n)} \right\} + \frac{\mu_2}{\mu_2 + \lambda_2} \chi_{(NA)}^{(n)} \} B_n' \left] \\ &+ \sum_{i=1}^{\infty} \frac{H_0(\xi_i a)}{\Theta_i^2} \frac{\mu_1 + \lambda_1}{2\mu_1 + \lambda_1} \left\{ P_{10}^{(i)} + \frac{2\mu_1 + \lambda_1}{\mu_1 + \lambda_1} Q_{10}^{(i)} \right\} D_{i1}' - \sum_{i=1}^{\infty} \frac{1}{J_0(\xi_i a)} \frac{\mu_1 + \lambda_2}{2\mu_2 + \lambda_2} \left\{ P_{10}^{(i)} + \frac{2\mu_1 + \lambda_2}{\mu_2 + \lambda_2} Q_{10}^{(i)} \right\} D_{i2}' = 0 \quad (11) \end{aligned}$$

$$\begin{aligned} \bar{\sigma}_{z1}(Z=0) &= \lambda_1 \frac{2\alpha t}{\beta^2 - \alpha^2} \left(\frac{1}{\alpha} A_0 - \frac{1}{\beta} A_{0'} \right) - \frac{2\mu_1 + \lambda_1}{C} D_{01}' + \sum_{n=1}^{\infty} N \left[\frac{2\mu_1 (\mu_1 + \lambda_1)}{2\mu_1 + \lambda_1} \left\{ \chi_{(NP)}^{(n)} - w_{(NP)}^{(n)} \right\} A_n + \frac{2\mu_1 (\mu_1 + \lambda_1)}{2\mu_1 + \lambda_1} \left\{ \chi_{(NP)}^{(n)} \right. \right. \\ &\left. \left. - w_{(NP)}^{(n)} \right\} A_n' + \frac{\mu_1 + \lambda_1}{2\mu_1 + \lambda_1} \left[\frac{2\mu_1 + \lambda_1}{\mu_1 + \lambda_1} \chi_{(NP)}^{(n)} + \chi_{(NP)}^{(n)} - w_{(NP)}^{(n)} \right] B_n' \right] - \sum_{i=1}^{\infty} \frac{\xi_i H_0(\xi_i r)}{\Theta_i^2} \frac{2\mu_1 (\mu_1 + \lambda_1)}{2\mu_1 + \lambda_1} \left\{ \phi_{(0)}^{(i)} + \psi_{(0)}^{(i)} \right\} / D_{i1}' = P_1(r) \quad (12) \end{aligned}$$

$$\begin{aligned} \bar{\sigma}_{z2}(Z=0) &= \lambda_2 \frac{2}{\alpha} A_0' - \frac{2\mu_2 + \lambda_2}{C} D_{02}' + \sum_{n=1}^{\infty} N \left[\frac{2\mu_2 (\mu_2 + \lambda_2)}{2\mu_2 + \lambda_2} \left\{ \chi_{(NP)}^{(n)} - w_{(NP)}^{(n)} \right\} A_n' + \frac{\mu_2 + \lambda_2}{2\mu_2 + \lambda_2} \left\{ \frac{2\mu_2 + \lambda_2}{\mu_2 + \lambda_2} \chi_{(NP)}^{(n)} + \chi_{(NP)}^{(n)} \right. \right. \\ &\left. \left. - w_{(NP)}^{(n)} \right\} B_n' \right] - \sum_{i=1}^{\infty} \frac{\xi_i}{J_0(\xi_i a)} \frac{2\mu_2 (\mu_2 + \lambda_2)}{2\mu_2 + \lambda_2} \left\{ \phi_{(0)}^{(i)} + \psi_{(0)}^{(i)} \right\} / D_{i2}' = P_2(r) \quad (13) \end{aligned}$$

(9)～(13)式を解き $A_b, A_{b'}, D_{b1}, D_{b2}, A_w, A_{w'}, B_{w'}, D_{w1}, D_{w2}$ を求めると各変数、応力成分がわかる。逆対称変形の場合には D_{b1}, D_{b2} の項に代り D_{w1}, D_{w2} の項を考慮する。また式中、添字 1, 2 は 34 で α , $\alpha \leq r \leq t$, $t < \alpha$ に対応するものである。

4 数値解析例

数値解析例として、両引張法の場合について、 $c/a = 20$ で $t/a = 10, 5, 2$ と、 $t/a = 10$ で $\%a = 20, 40, 80$ に対して、 $E_s/E_i = 7$, $\nu_1 = 0.15$, $\nu_2 = 0.3$ で計算を行った結果を図-2, 3 に示す。

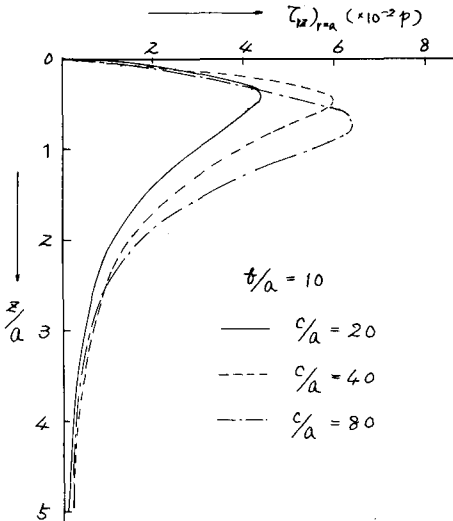


図-2 埋込長さの差による付着応力分布の変化

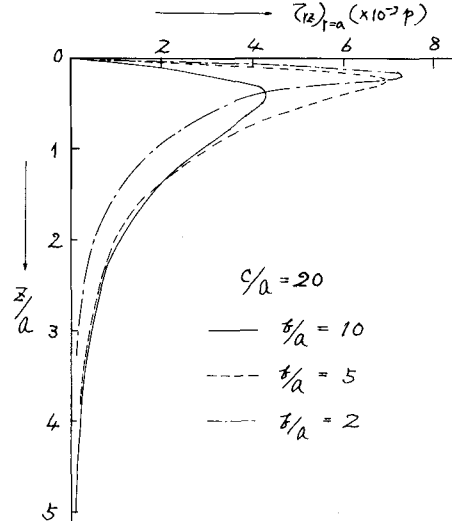


図-3 コンクリート径の変化による付着応力分布の変化

5. あとがき

軸対称三次元応力問題の解析法を適用し、付着応力分布の解析を行ったが、この結果では、鉄筋径に対して、コンクリート径の大きさには3種、また長さの長くない3種、付着応力の最大値は大きくなり、さらに最大値の生ずる位置も同様に深くなることがわかる。ただし、上の計算では、 $t=20$, $m=48$ としたときのものである。一方付着強度の算定に関しては、付着応力の分布の他に、コンクリート内部の引張応力の分布等も考慮しながら決定しなければならない。また計算例としては、比較的計算の簡単な両引張法を取りあげたが、引抜法についても境界条件を変えて、同じように計算することができる。

なお、本研究は、著者の一人が土木学会吉田研究奨励金の授与を受けて、行なったものである上とて附記し、ここに謝意を表します。

参考文献

- (1) R.G. Mathey, D. Watzstein : Investigation of Bond in Beam and Pull-Out Specimens with High-Yield-Strength Deformed Bar, J. ACI Mar. 1961, 68
- (2) K.R. Peattie, J.A. Popet : Effect of Age of Concrete on Bond Resistance, J. ACI Feb. 1956
- (3) S. G. Nomachi : On One Method of Solving Stress Problems in Cylindrical Co-ordinates by Means of Finite Fourier Hankel Transforms (Part I), Mem. Muroran Institute of Tech. Vol. 3, No. 3 1960